

九州大学 工学部 正員 平野宗夫  
九州大学 工学部 正員 羽田野架装義  
九州大学 工学部 〇学生員 古賀省三

1. まえがき

我国の貯水池では、夏季に顕著な二次躍層が生ずる場合が多い。同時にこの時期は、洪水期にもあたり、洪水による密度躍層の低下または破壊の起った例がしばしば報告されている。密度躍層の破壊については、吉川、安芸らによって研究されている。密度躍層の低下についての理論的解析は、あまり研究されておらず、ここでは、表層取水の場合の密度躍層の低下過程および中間層内の密度の時間的变化ならびにダム壁近傍から中間層への巻き込み量についての評価が簡単なモデルを用いて行われた。

2. 密度躍層の低下および中間層内の密度変化過程

図-1に貯水池モデルが示されている。この解析においては、密度の流れ方向の変化は考慮せず時間的变化だけを考え、また水位は時間的に一定とする。

断面IとII間の領域を control volume とすると体積保存則より

$$\frac{d}{dt}(V_f + V_s + V_b) = 0 \quad \text{--- (1)}$$

質量保存則より

$$\rho_b \frac{dV_b}{dt} + \rho_s \frac{dV_s}{dt} + V_s \frac{d\rho_s}{dt} + \rho_f \frac{dV_f}{dt} = \rho_i q_i - \rho_o q_o \quad \text{--- (2)}$$

式(1)と(2)より  $dV_b/dt$  を消去すると

$$V_s \frac{d\rho_s}{dt} = (\rho_b - \rho_s) \frac{dV_s}{dt} + (\rho_b - \rho_f) \frac{dV_f}{dt} + \rho_i q_i - \rho_o q_o \quad \text{--- (3)}$$

躍層の低下は底水層体積の減少によって生ずると考えられ、 $q_b$  を中間層上流端付近における底水層からの巻き上げ量とする。ここで、 $q_b$  がどの層に流入するのかわ、またどんな量によって規定されているのかわ検討する。図-2に  $\frac{dV_b}{dt}/L\bar{u}_f$  と  $\bar{F}^2$  との関係が示されている。但し、 $F_1^2 = q_i^2/\epsilon_0 g h_i^3$ 、 $F_2^2 = q_i^2/\epsilon_2 g h_i^3$ 、 $\epsilon_0 = (\rho_s - \rho_i)/\rho_i$ 、 $\epsilon_2 = (\rho_b - \rho_i)/\rho_i$  図より  $\epsilon_0$  に対するものは、フルード数の増加に伴って  $\frac{dV_b}{dt}/L\bar{u}_f$  は減少するが、 $\epsilon_2$  に対してはフルード数の増加に伴って  $\frac{dV_b}{dt}/L\bar{u}_f$  も増加している。よって  $q_b$  は底水層より直接表水層へ流入していると考えられる。

$q_b$  を算定するために図-3に  $\frac{dV_b}{dt}/L\bar{u}_f$  と  $\bar{F}^2$  との関係が示されている。多少のパラッキはあるが、内部フルード数と密接な関係にあると考えられる。よって  $\frac{dV_b}{dt} = -q_b$  であるので  $q_b$  は内部フルード数の関数形で与えることができる。

上記を考慮して断面IとII間の表水層領域を control volume とすると体積保存則より

$$\frac{dV_f}{dt} = v_e L - q_m + q_b \quad \text{--- (4)}$$

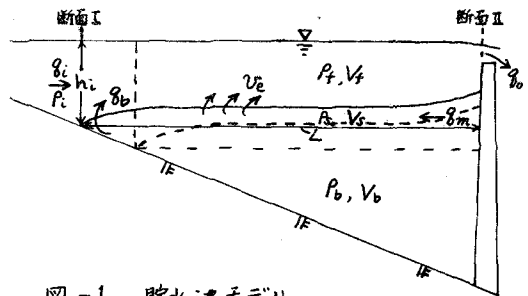


図-1 貯水池モデル

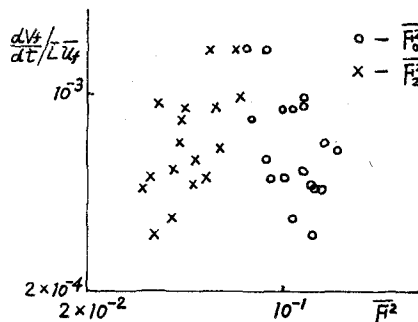


図-2  $\frac{dV_b}{dt}/L\bar{u}_f$  と  $\bar{F}^2$  との関係

但し、 $q_m$ は表水層から中間層への巻き込み量である。  
質量保存則より

$$\rho_f \frac{dV_f}{dt} = (\rho_i q_i - \rho_o q_o) + \rho_s v_e L - \rho_f q_m + \rho_b q_b \quad \dots \quad (5)$$

式(3), (4)および(5)より

$$V_s \frac{d\rho_s}{dt} = (\rho_b - \rho_s) \frac{dV_s}{dt} + (\rho_b - \rho_s) v_e L + (\rho_f - \rho_b) q_m \quad \dots \quad (6)$$

断面IとII間の中間層領域をcontrol volumeとすると体積保存則より

$$\frac{dV_s}{dt} = q_m - v_e L \quad \dots \quad (7)$$

式(6)と(7)より

$$V_s \frac{d\rho_s}{dt} = (\rho_f - \rho_s) q_m \quad \dots \quad (8)$$

密度躍層の低下については

$$\frac{d(h_i L)}{dt} = q_b \quad \text{より} \quad \frac{dh_i}{dt} = \frac{q_b}{L} \quad \dots \quad (9)$$

結局、式(7), (8)および(9)を計算することによって、 $h_i$ ,  $\rho_s$ の時間的変化を求めることができる。その時、 $q_m$ の算定が必要である。

### 3. $q_m$ の算定

選取取水の分野において、躍層付近に中間層が形成されることはよく知られた事実であり、その理由としては、表水層から躍層面を介して流入する巻き込みが存在し、これが上流域へ運ばれるためと考えられる。

$q_m$ を算定するため、図-4のように取水域付近をモデル化する。

領域ABCDおよびCDEFに対して運動量の定理を適用し現象を準定常と見ると

$$\frac{(q_o + q_m)^2}{h_f} = \frac{\alpha q_o^2}{h_f - h_e - h_m} - \frac{q}{2} h_e (2h_f - h_e) + \frac{\epsilon_m}{2} q h_m^2 \quad \dots \quad (10)$$

$$\frac{q_m^2}{q h_s^2} = \epsilon_m h_m - h_e \quad \dots \quad (11)$$

AB上でベルヌーイの定理を適用すると

$$h_e = \frac{1}{2g} \left\{ \beta \left( \frac{q_o}{h_f - h_e - h_m} \right)^2 - \left( \frac{q_o + q_m}{h_f} \right)^2 \right\} \quad \dots \quad (12)$$

但し、 $\beta$ は係数である。

式(10), (11)および(12)を計算することによって $q_m$ が算定される。以上の解析より $h_i$ ,  $\rho_s$ の時間的変化を算定することができる。計算結果については、当日、発表する予定である。また、今後の研究課題として、 $\rho_s$ の場所的変化も考慮した解析などが上げられる。

参考文献1) 吉川、山本：土木学会論文報告集第186号，2月，1971。

2) 安芸、白砂：電力中央研究所報告74505，1973。3) Garrel, P.: La Houille Blanche, Jan-Fev., 1949。

4) 平野、金子、武：第21回水理講演会論文集，1976。

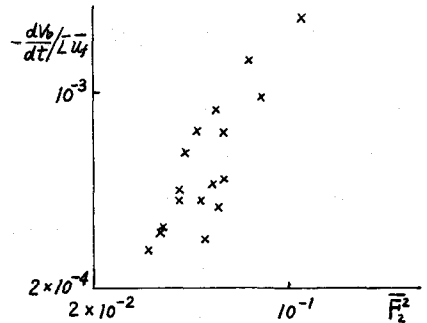


図-3  $-\frac{dv}{dt}/L U_f$  と  $F_r^2$  との関係

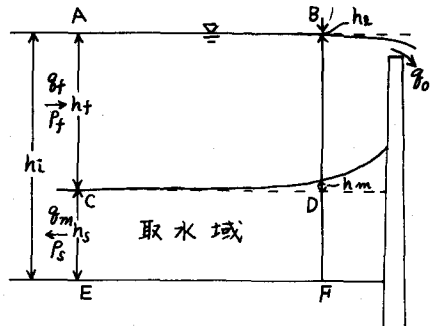


図-4 取水域付近のモデル

但し、 $q_f - q_m = q_o$ ,  $\epsilon_m = (\rho_s - \rho_f)/\rho_f$   
 $\alpha$ は係数である。